

کاربرد روش‌های کروستا، نقشه‌بردار زاویه طیفی و فیلتر تطبیقی تعدیل شده در داده‌های ASTER جهت شناسایی کانی‌های دگرسانی

مرضیه بداغی^{۱*}، احمد نوحه‌گر^۲ محمد کمانگر^۱ و بهروز احمدی‌دوست^۳

۱- کارشناس ارشد سنجش از دور و سیستم اطلاعات جغرافیایی دانشگاه هرمزگان

۲- استاد گروه محیط‌زیست دانشکده منابع طبیعی دانشگاه تهران

۳- کارشناس ارشد آبخیزداری دانشکده منابع طبیعی دانشگاه هرمزگان

*m_bodaghi21@yahoo.com

دریافت: ۹۳/۹/۱۵ پذیرش: ۹۴/۲/۹

چکیده

سنجش از دور از جمله فنون نوین در امر اکتشاف کانسارها می‌باشد. هدف از این تحقیق به کارگیری تحلیل‌های طیف مبنا با استفاده از باندهای مرئی و مادون قرمز موج کوتاه سنجنده ASTER جهت شناسایی زون‌های دگرسانی منطقه سیاه کوه در استان کرمان است. با به کارگیری روش‌هایی تحلیل مؤلفه‌های اصلی انتخابی (SAM)، نقشه‌بردار زاویه طیفی (Crosta)، و روش فیلتر تطبیقی تعدیل شده (MTMF) نواحی دگرسان شده و بکر از هم جدا شده و مورد تحلیل قرار گرفت. استفاده از روش‌های ذکر شده منجر به شناسایی دگرسانی‌های مختلفی از جمله سریستیک، آرزیلیک، پروپلیتیک شد. به منظور ارزیابی روش‌های ذکر شده بر اساس نقشه واقعیت زمینی که دگرسانی آرزیلیکی را شامل می‌شد، از ضربی کاپا استفاده گردید. نتایج نشان داد که روش فیلتر تطبیقی تعدیل شده (MTMF) با بیش‌ترین ضربی کاپا یعنی ۶۵/۷۸ درصد مناسب‌ترین روش به منظور شناسایی و استخراج زون‌های دگرسانی می‌باشد.

واژه‌های کلیدی: دگرسانی، فیلتر تطبیقی تعدیل شده، کروستا، نقشه‌بردار زاویه طیفی، سیاه کوه

شناسان می‌تواند جهت انجام مهم‌ترین کارهای صحرایی از قبیل تعیین موقعیت قفارگیری، نقشه‌برداری ساختاری، سنگ‌شناسی و موقعیت زون‌های دگرسانی از طریق کنترل‌های صحرایی به کار گرفته می‌شود [۱۴]. به طور کلی، تصاویر سنجش از دور دو کاربرد عمده در اکتشاف مواد معدنی دارند: ۱- تهیه نقشه زمین‌شناسی و شناسایی گسل‌ها و شکستگی‌هایی که نهشته‌های معدنی در بر دارند. ۲- شناسایی سنگ‌های دگرسان شده بر اساس ویژگی‌های طیفی آن‌ها [۱۸]. توانایی تفکیک باندی در طول موج‌های محدودتر و بیش‌تر سبب شده که در سال‌های اخیر علاوه بر سنجنده‌های مختلف از داده‌های سنجنده ASTER نیز برای بارزسازی پدیده‌های مختلف زمین استفاده شود. سنجنده ASTER محصول مشترک آمریکا و ژاپن است که بر روی ماهواره ترا قرار دارد و در سال ۱۹۹۹ به فضا پرتاب شد. این سنجنده نسبت به سنجنده‌های طیفی قدیمی‌تر از توان تفکیک طیفی بالاتری برخوردار بوده و دارای توانایی بهتری برای تشخیص و شناسایی دگرسانی‌های گرمایی و تمایز واحدهای سنگ‌شناختی می‌باشد. سنجنده ASTER

۱- مقدمه

به کلیه تغییرات شیمیایی و کانی‌شناسی که تحت تأثیر آبهای ماقمایی و یا گرمابی در سنگ‌ها ایجاد می‌شود را دگرسانی می‌گویند. دگرسانی ساده‌ترین، ارزان‌ترین و مناسب‌ترین وسیله در اکتشاف مواد معدنی است. یکی از بهترین روش برای پیدا کردن دگرسانی‌ها، کمک گرفتن از پردازش داده‌های ماهواره‌ای است. تغییرات شیمیایی و کانی‌شناسی حاصل از دگرسانی سنگ‌ها، میزان انعکاس منعکس شده و یا جذب شده در این سنگ‌ها را تغییر می‌دهد. با توجه به اینکه این انرژی‌ها در مورد پدیده‌های مختلف برای یک طول موج و متقابلاً برای یک پدیده در طول موج‌های گوناگون متفاوت است، با پردازش داده‌های ماهواره‌ای امکان شناسایی و یا بررسی حضور و یا عدم حضور کانی‌های شاخص برخی از دگرسانی‌ها نیز میسر می‌گردد. پس از پیدا کردن دگرسانی‌ها در یک منطقه و در توده‌های خاص می‌توان بازدیدهای صحرایی را برنامه‌ریزی کرد [۶]. سنجش از دور به عنوان ابزار اصلی کار زمین

دوران‌های متفاوت زمین‌شناسی دگرسانی‌های مختلف در این منطقه صورت گرفته هدف از انجام این تحقیق استفاده از تصاویر چند طیفی سنجنده ASTER و فنون طیف پایه، تصویر پایه و ترکیبی از هر دو به منظور شناسایی و استخراج زون‌های دگرسانی و تعیین بهترین روش پردازش طیف پایه در شناسایی کانی‌های دگرسانی در منطقه سیاه کوه می‌باشد.

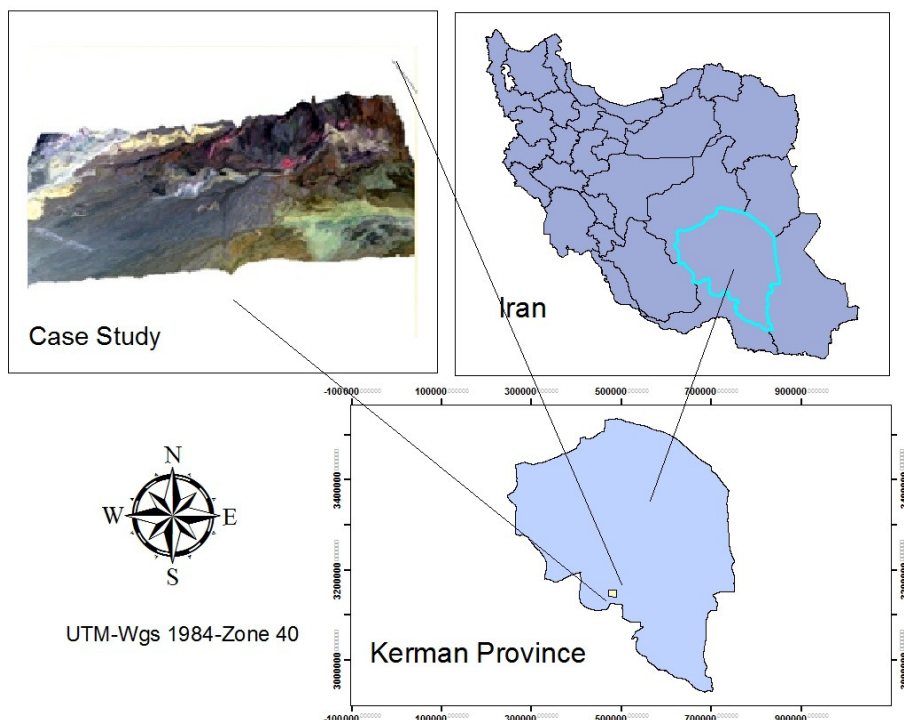
۲- مواد و روش‌ها

۲-۱- معرفی منطقه مورد مطالعه

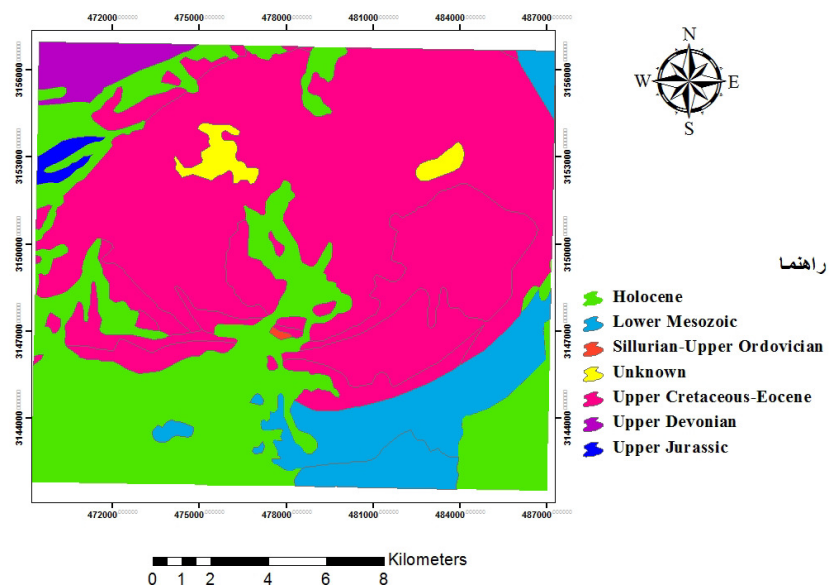
منطقه مورد مطالعه در استان کرمان و در ۱۰۰ کیلومتری جنوب شهر بافت در بخش بزرگی از نقشه زمین‌شناسی ۱:۱۰۰۰۰۰ دولت آباد قرار دارد (شکل ۱). منطقه مورد مطالعه در حد فاصل بین مختصات جغرافیایی ۲۸ درجه و ۵۶ دقیقه تا ۲۸ درجه و ۲۵ دقیقه عرض شمالی و ۵۶ درجه و ۲۶ دقیقه تا ۵۶ درجه و ۳۴ دقیقه طول شرقی از نصف‌النهار گرینویچ و مساحت ۳۶۰۰ کیلومتر مربع در آب و هوای گرم‌سیری قرار گرفته است.

منطقه مورد مطالعه، از دیدگاه ساختاری در زون زمین‌ساختی سنتنگ سیرجان حای دارد. زمین‌های پیرامون این ناحیه از سنگ‌های واپسته به پالئوزوئیک، مژوزوئیک و سنوزوئیک پدید آمده است. کهن‌ترین سنگ‌ها یعنی پالئوزوئیک از جنس شیسته‌های بلورین، آمفیبولیت و مرمند. سنگ‌های ژواراسیک و کرتاسه از جنس آهک، و یک سری ناهمگن ولکانیک - رسوبی (آمیزه رنگین) نیز در این ناحیه دیده شده است. نهشته‌های کواترنر نیز پست‌ترین بخش‌های ناحیه را می‌پوشاند. دامنه‌های باختری سیاه کوه (واقع در مرکز منطقه مورد مطالعه) از جنس آمیزه رنگین‌اند که استوک‌های کوارتز پوروفیری در آن‌ها نفوذ کرده‌اند. این نفوذی‌ها و هم‌چنین نهشته‌ها و ولکانیک‌های پیرامون تا اندازه‌ای دگرسان شده‌اند. آمیزه رنگین در این بخش از سیاه کوه، بیشتر، از جنس ولکانیک‌ها، پیروکلاستیک‌ها است (شکل ۲).

اطلاعات منابع زمینی را در ۱۴ باند مجزا تهیه می‌کند. از این ۱۴ باند، ۳ باند در محدوده مرئی و مادون قرمز نزدیک با قدرت تفکیک مکانی ۱۵ متر، ۶ باند در محدوده مادون قرمز موج کوتاه با قدرت تفکیک مکانی ۳۰ متر و ۵ باند در محدوده مادون قرمز حرارتی با قدرت تفکیک مکانی ۹۰ متر می‌باشد [۸]. از دیگر ویژگی‌های سنجنده ASTER به موارد زیر می‌توان اشاره کرد: ۱- تصاویر این سنجنده بر مبنای نیازهای زمین‌شناسی طراحی شده‌اند، بنابراین در این زمینه کارایی بالایی دارند. ۲- از تفکیک طیفی خوبی در محدوده مادون قرمز (محدوده‌ای که می‌توان بسیاری از کانی‌ها را از یکدیگر تفکیک کرد) برخورداری از قدرت تفکیک رادیومتریک بسیار خوب که [۱۰ و ۱۲ بیت] که تصاویری با کیفیت و نسبت سیگنال به نویز بالا را موجب شده است [۳]. تاکنون مطالعات مختلفی با استفاده از تصاویر سنجش از دور در شناسایی زون‌های دگرسانی انجام شده است از جمله [۱۸] از روش‌هایی چون نسبت باندی و تجزیه مولفه‌های اصلی برای تعیین موقعیت دگرسانی گرمابی وابسته به کانی‌سازی فلزی استفاده کرد. [۲۱] با استفاده از روش معتمدسازی بردارها به روش گرام اشمیت و با استفاده از ۵ باند مادون قرمز طول موج کوتاه سنجنده ASTER شاخص‌هایی را برای کانی‌های آلونیت، کائولینیت، کلسیت و مونت موریلونیت تولید کردند. [۱۲] با استفاده از تصاویر سنجنده ASTER و روش آنالیز مولفه‌های اصلی به نقشه‌برداری کانی‌های مرتبط با اکتشاف طلای اپی‌ترمال در پاتاگونیا آرژانتین پرداختند. در ایران نیز مطالعات مشابه‌ای صورت گرفته است. از جمله اینکه. [۱] داده‌های ASTER را در منطقه سرچشمه برای تعیین مناطق دگرسان هیدروترمال از طریق آنالیز مولفه‌های اصلی استفاده کردند. [۲] با استفاده از داده‌های مادون قرمز موج کوتاه ASTER در محدوده طیفی ۲/۴۵-۱/۶۵ میکرومتر به استخراج و شناسایی زون‌های دگرسانی در منطقه شرق زنجان پرداختند. در این تحقیق پس از استفاده از روش‌های مختلف سنجش از دور زون‌های پروپلیتیک، فیلیک و آرژیلیک با استفاده از ترکیب معدنی‌شان جداسازی شدند. منطقه سیاه کوه در جنوب استان کرمان قرار گرفته که در



شکل ۱. موقعیت منطقه مورد مطالعه در ایران و استان کرمان با ترکیب رنگی ۴۶۸ سنجنده ASTER



شکل ۲. نقشه زمین‌شناسی منطقه مورد مطالعه

زده خود دگرسان شده‌اند. حال آنکه سنگ‌های ولکانیک، تنها به صورت بلوك‌های محصور و در نزدیکی همبری با توده کوارتز دیوریت پورفیری دگرسانی یافته‌اند (شکل ۳).

بیشترین سنگ‌های ناحیه چنین‌اند: آندزیت، توف آندزیتی، برش، دیاباز و اسپیلت [۴]. به دنبال پیدا شدن توده‌های نفوذی، دگرسانی گرمایی نیز انجام گرفت این دگرسانی هم در سنگ‌های خروجی هم نفوذی (پلوتونیک) دیده شده است. توده‌های نفوذی در سراسر بخش بیرون



شکل ۳. منطقه مورد مطالعه. دگرسانی آرژیلیکی به رنگ روشن در تصویر الف و ب مشخص است.

$$P = \frac{\pi \cdot L \cdot d^2}{ESUN_{A, \cos \theta_S}} \quad \text{رابطه ۲}$$

در این معادله P انعکاس در بالای سطح اتمسفر سیاره‌ای؛ π . ثابت ریاضی که به طور تقریبی برابر است با $m_2 \cdot 3/14159$. رادیانس رسیده به سنجنده بر حسب $d: w/(sr \cdot \mu m)$. فاصله بین خورشید تا زمین در لحظه تصویربرداری بر حسب واحد نجومی^۱ $ESUN_A$ ، میانگین تابش خورشیدی خارج از سطح اتمسفری برای طول موج λ بر حسب $s\theta: w/(m^2 \cdot Sr \cdot \mu m)$. زاویه زنیت خورشید بر حسب درجه (که از کسر زاویه ارتفاع خورشید از 90° محاسبه می‌گردد) می‌باشد.

همچنین، با توجه به اینکه در مراحل اولیه تحلیل تصاویر ماهواره‌ای توجه به بر هم کنش امواج الکترومناطیسی با جو زمین که سبب افزایش یا کاهش بازتاب‌های واقعی از سطح زمین می‌شود لازم است، لذا تصحیح اتمسفری بر روی آن‌ها صورت گرفت. روش به کار رفته در این پژوهش کالیبراسیون بازتاب نسبی متوسط داخلی^۲ می‌باشد. این روش به ویژه برای تعدیل داده‌های طیفی به بازتاب نسبی در منطقه‌ای که هیچ گونه اندازه‌گیری خاص زمینی وجود ندارد و اطلاعات کمی از منطقه موجود می‌باشد مؤثر است. شکل ۴ مقایسه طیف تصویر ASTER را قبل و بعد از تصحیح نشان می‌دهد.

۲-۲ آماده‌سازی تصویر

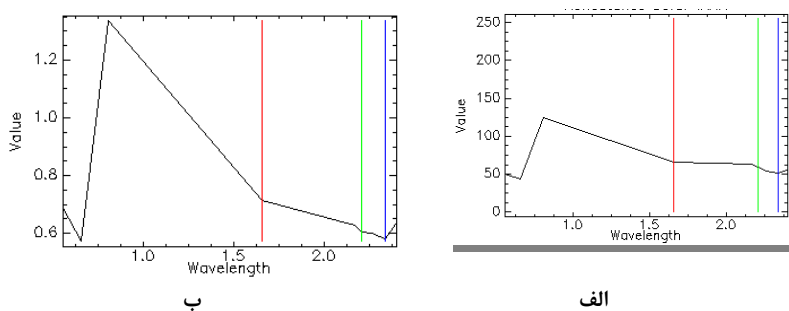
جهت بررسی منطقه یک سین از سنجنده ASTER با Row و Path به ترتیب ۱۶۰ و ۴۰ و سطح L1A که در تاریخ ۲۰۰۳/۱۰/۱۹ اخذ شده است، انتخاب گردید. پیش پردازش تصحیح هندسی با استفاده از روش تصویر به تصویر انجام گرفت. بدین منظور از تصویر سنجنده ETM+ منطقه مورد مطالعه، به عنوان تصویر مبنا و تصویر ASTER از طریق یک چند جمله‌ای درجه یک و با دقت مناسبی به تصویر ETM+ هم نهاده سازی شد. علاوه بر انجام این تصحیح، تصحیح اشکالات رادیومتریکی به منظور تبدیل ارزش‌های رقومی هر پیکسل به طیف انعکاسی و تولید داده انعکاس سطح زمین لازم است. برای تبدیل ارزش پیکسل‌های تصویر به رادیانس طیفی رسیده به سنجنده، از معادله ۱ استفاده گردید:

$$L = \left(\frac{LMAX_A - LMIN_A}{Q_{calmax} - Q_{calmin}} \right) (Q_{cal} - Q_{calmin}) + LMIN_A \quad \text{رابطه ۱}$$

در این معادله L ، رادیانس رسیده به سنجنده بر حسب $Q_{cal}: W/(m^2 \cdot Sr \cdot \mu m)$ ، ارزش کوانتیزه شده پیکسل تصویر Q_{calmax} و Q_{calmin} (DN)، کمترین و بیشترین مقدار ارزش کوانتیزه پیکسل‌های تصویر (عموماً عدد "۱" و "۲۵۵")؛ $LMAX_A$ و $LMIN_A$ رادیانس حداقل و حداکثر در سنجنده بر حسب $W/(m^2 \cdot Sr \cdot \mu m)$ است که به مقادیر Q_{calmax} و Q_{calmin} کوانتیزه شده‌اند، می‌باشد. همچنین به منظور دستیابی به مقادیر انعکاس در بالای سطح اتمسفر نیز، از معادله ۲ استفاده گردید.

¹ Astronomical units

² IARR

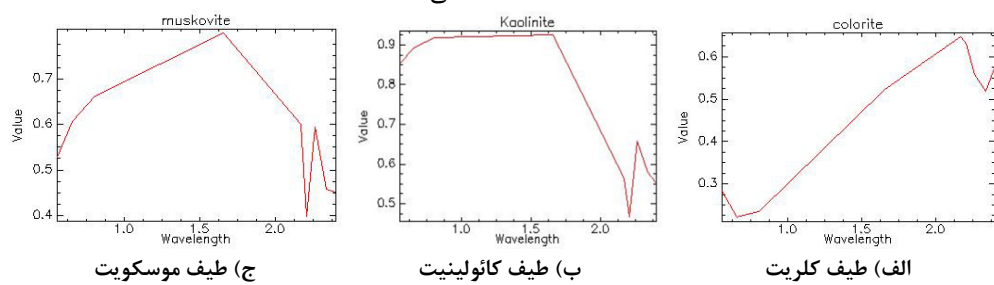


شکل ۴. الف: طیف گیاه قبل از اعمال تصحیح میانگین بازتاب داخلی. ب: طیف گیاه پس از اعمال تصحیح میانگین بازتاب داخلی

نقشه‌بردار زاویه طیفی روشی کارآمد برای مقایسه طیف تصاویر نسبت به طیفی مشخص یا طیفی استاندارد (کتابخانه‌ای) است. الگوریتم این روش، مشابهت بین ۲ طیف را به وسیله زاویه طیفی بین آن دو محاسبه می‌کند. در این روش برای محاسبه زاویه‌بردار جهت بردارها اهمیت دارد و نه طول آن‌ها. بنابراین در این روش فاکتورهای دیگر در نظر گرفته نمی‌شود [۱۶]. در واقع هرچه مقدار زاویه بین ۰ و ۱ کمتر باشد، شناسایی دقیق‌تر خواهد بود. در صورتی که مقدار زاویه ۱ باشد، کل تصویر به عنوان پدیده مورد نظر شناسایی می‌شود.

$$\text{رابطه ۳} \quad \alpha = \cos^{-1} \left(\frac{\vec{e}_1 \cdot \vec{e}_2}{\|\vec{e}_1\| \|\vec{e}_2\|} \right)$$

برای به دست آوردن زاویه α بین دو بردار به دست آمده از طیف نقاط آزمایشگاهی t و مرجع r استفاده می‌شود. برای مقایسه یک پیکسل، طیف پیکسل مورد نظر از منطقه مورد مطالعه با طیف همان پیکسل در آزمایشگاه (کتابخانه) بر روی دو باند در یک محور مختصات رسم می‌گردد. سپس نقاط به دست آمده به مبدأ وصل می‌شود و زاویه بین دو خط به دست آمده به عنوان زاویه شناسایی پیکسل شناخته می‌شود. خروجی این محاسبات یک تصویر ردیبندی شده و تصاویر Rule به تعداد عضوهای انتهایی است. تصویر ردیبندی شده بهترین تطابق و تصاویر زاویه طیفی بین طیف مرجع و طیف تصویر را نشان می‌دهد.



شکل ۵. پاسخ طیفی مواد در باندهای سنجنده ASTER

۳-۲ روش تحقیق

۱-۳-۲ تحلیل مؤلفه‌های اصلی انتخابی (Crosta) روش تحلیل مؤلفه‌های اصلی انتخابی روشی بر مبنای تحلیل مؤلفه‌های اصلی برای به نقشه در آوردن دگرسانی‌های مختلف و کانی‌های شاخص آن‌ها می‌باشد. بطوریکه بتوان یک هدف خاص را در یکی از تصاویر مؤلفه اصلی با پیکسل‌های روشن و نسبت به سایر پدیده‌ها نشان داد. در این روش به جای اعمال تحلیل مؤلفه‌های اصلی روی تمام باندها، تعداد محدودی از باندها که حاوی عوارض طیفی (جذب و انعکاس شدید) ماده مورد نظر هستند، مورد استفاده قرار می‌گیرند تا از تاثیر سایر مواد (مثل پوشش گیاهی) در نتیجه نهایی جلوگیری شود [۱۱]. در این تحقیق از کانی‌های کلریت، کائولینیت و موسکوویت به منظور شناسایی زون‌های پروپلیتیک و آرژیلیک و فیلیک استفاده شد (شکل ۵). کانی موسکوویت به عنوان شاخص دگرسانی فیلیک (سرسیتیک)، کانی کائولینیت به عنوان شاخص دگرسانی آرژیلیک و کانی کلریت به عنوان شاخص دگرسانی پروپلیتیک انتخاب گردید (کانی‌های شاخص هر دگرسانی با توجه به تحقیقات پیشین در منطقه مورد مطالعه و تحقیقات [۱۵] انتخاب گردید).

۲-۳-۲ روش نقشه‌بردار زاویه طیفی (SAM)

۳-نتایج

برای هر کدام از مجموعه‌های باندی، با توجه به پاسخ طیفی کانی‌ها، در طیف الکترومغناطیس بر اساس باندهای سنجنده ASTER، باندهای جذب و انعکاس مشخص شده و تحلیل مؤلفه‌های اصلی صورت گرفت و با بررسی ماتریس بردارهای ویژه حاصل از آن توسط نگارندگان، مؤلفه اصلی بازکننده ماده مورد نظر شناسایی گردید. جدول یک ماتریس بردارهای ویژه برای باندهای ۱، ۳، ۵ و ۷ سنجنده ASTER را نشان می‌دهد. این باندها بر اساس نمودار پاسخ طیفی کانی کلریت در طیف الکترومغناطیس بر اساس باندهای ASTER انتخاب گردیده است. با توجه به جذب شدید در باند ۳ و انعکاس بالا در باند ۵ کانی کلریت، می‌توان نتیجه گرفت اختلاف شدید و مختلف العلامت در بارگذاری مقادیر بردار ویژه، نشانه‌ای از بروز کانی کلریت در مؤلفه اصلی متناظر با آن می‌باشد. همان‌طور که مشاهده می‌شود در مؤلفه دوم، باند ۳ بارگذاری شدید منفی و باند ۵ بارگذاری مثبت دارد. بنابراین مؤلفه دوم به عنوان شاخص کلریت انتخاب می‌گردد. به همین ترتیب باندهای ۱، ۳، ۵ و ۷ سنجنده ASTER به منظور شناسایی کانی کائولینیت حاصل شد. کانی کائولینیت در باند ۶ جذب و در باند ۴ انعکاس شدید دارد. در ماتریس بردارهای ویژه ۱، ۳، ۵ و ۷ سنجنده ASTER، مؤلفه سوم حاوی مقادیر شدید و مختلف العلامت می‌باشد. در تصویر مربوط به این مؤلفه، مناطق با رنگ تیره باند انعکاسی را نشان می‌دهند. باندهای ۱، ۳، ۵ و ۷ این سنجنده برای کانی موسکوویت استفاده شد و نتایج زیر به دست آمد (جدول‌های ۱ تا ۳ و شکل ۶).

۳-۲-۳ فیلتر تطبیقی تعديل شده (MTMF)

الگوریتم MTMF شامل دو مرحله می‌باشد: ۱- محاسبه یک فیلتر انطباقی جهت تخمین زدن فراوانی ۲- محاسبه یک معیار اختلاف طیفی برای شناسایی و حذف مقادیر مقادیر مثبت اشتباه در روش MTMF می‌باشد. برای بهبود محاسبات میزان کردن مخلوط طیفی مانند خروجی الگوریتم MNF دارای میانگین صفر و نویز واحد باشند. امتیاز فیلتر انطباقی یافته، با تصویر کردن داده تبدیل یافته توسط روش MNF بر روی بردار فیلتر انطباقی تعیین می‌گردد. این بردار، حاصل تبدیل طیف هدف در فضای MNF و تصویر نمودن آن بر روی معکوس کوواریانس داده و نرمال کردن آن به بزرگای طیف هدف می‌باشد. این موضوع در رابطه ۴ نشان داده شده است.

$$\vec{v} = \frac{[C_{MNF}]^{-1} \# t_{MNF}}{(t) \# [C_{MNF}]^{-1} \# t_{MNF}}$$

در معادله فوق بردار فیلتر انطباقی، C_{MNF} معکوس ماتریس کوواریانس تبدیل MNF (یک ماتریس قطری از MNF مقادیر ویژه دوسویه) و t_{MNF} بردار هدف در فضای MNF می‌باشد. علامت # در این رابطه، بیانگر عمل تصویر کردن، می‌باشد. در مرحله بعد با تصویر نمودن داده ورودی (که در فضای MNF است) بر روی فیلتر انطباقی مقادیر خروجی الگوریتم MF حاصل می‌گردد. رابطه ۵ بیانگر این موضوع است.

$$MF = \vec{v} \# [MNF]$$

در معادله بالا، مقادیر خروجی یا همان MF ها دارای توزیع نرمال و میانگین صفر می‌باشند. مرحله دوم الگوریتم MTMF به ارزیابی توانایی تخمین خطای موجود در مقادیر MF برای هر پیکسل براساس مفهوم عدم امکان پذیری می‌پردازد.

جدول ۱. ماتریس بردارهای ویژه باندهای ۱، ۳، ۵ و ۷ سنجنده ASTER به منظور نمایش کانی کلریت.

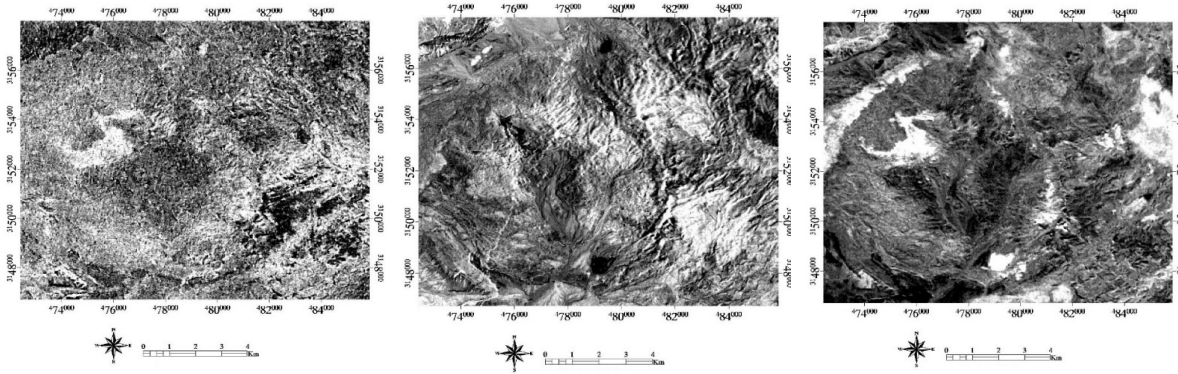
| بردار ویژه | باند ۱ | باند ۳ | باند ۵ | باند ۷ |
|-------------|----------|----------|----------|-----------|
| مؤلفه اول | -۰.۴۳۰۸۲ | -۰.۵۴۰۳۹ | -۰.۴۷۱۹۸ | -۰.۵۴۷۳۶ |
| مؤلفه دوم | -۰.۴۸۷۷۱ | -۰.۵۳۱۹۱ | ۰.۳۹۴۴۰۸ | ۰.۵۶۸۹۱ |
| مؤلفه سوم | ۰.۱۰۲۵۱۴ | -۰.۰۱۸۸۵ | -۰.۷۸۲۰۷ | ۰.۶۱۳۱۳۸ |
| مؤلفه چهارم | -۰.۷۵۲۳۵ | ۰.۶۵۱۶۸۷ | -۰.۰۹۲۱ | ۰.۰۲۸۱۹۹۳ |

جدول ۲. ماتریس بردارهای ویژه باندهای ۱، ۴، ۶ و ۷ سنجنده استر به منظور نمایش کانی کائولینیت.

| باند ۷ | باند ۶ | باند ۴ | باند ۱ | بردار ویژه |
|----------|----------|----------|----------|-------------|
| -۰.۴۳۱۰۸ | -۰.۴۹۶۰۹ | -۰.۵۹۸۹ | -۰.۴۵۷۵۹ | مؤلفه اول |
| ۰.۲۰۴۷۳۱ | ۰.۲۶۳۵۰۶ | ۰.۲۱۳۵۹۶ | -۰.۸۸۸۹۹ | مؤلفه دوم |
| ۰.۴۹۴۲۳۵ | ۰.۴۶۴۵۸۷ | -۰.۷۳۴۷۳ | -۰.۰۰۷۶۵ | مؤلفه سوم |
| ۰.۷۲۶۶۲۹ | -۰.۶۸۴۵۶ | ۰.۰۵۶۰۸۹ | -۰.۰۱۵۷۸ | مؤلفه چهارم |

جدول ۳. ماتریس بردارهای ویژه باندهای ۱، ۳، ۶ و ۹ سنجنده استر به منظور بازسازی مناطق دارای کانی موسکویت.

| باند ۹ | باند ۶ | باند ۳ | باند ۱ | بردار ویژه |
|----------|----------|-----------|-----------|------------|
| ۰.۵۵۳۵۸۴ | -۰.۵۰۲۵۲ | -۰.۴۷۰۰۶۳ | -۰.۴۶۹۱۰۴ | مؤلفه ۱ |
| -۰.۴۵۴۲۵ | -۰.۴۶۰۳۴ | ۰.۶۷۷۵۵ | ۰.۳۵۰۲۴۸ | مؤلفه ۲ |
| ۰.۱۴۹۳۳۵ | ۰.۰۶۵۰۴۴ | ۰.۵۶۳۱۱۳ | -۰.۸۱۰۱۷ | مؤلفه ۳ |
| ۰.۶۸۱۸۳۶ | -۰.۷۲۸۹۳ | -۰.۰۵۳۵۸ | -۰.۰۲۹۹۱۵ | مؤلفه ۴ |



(ج)

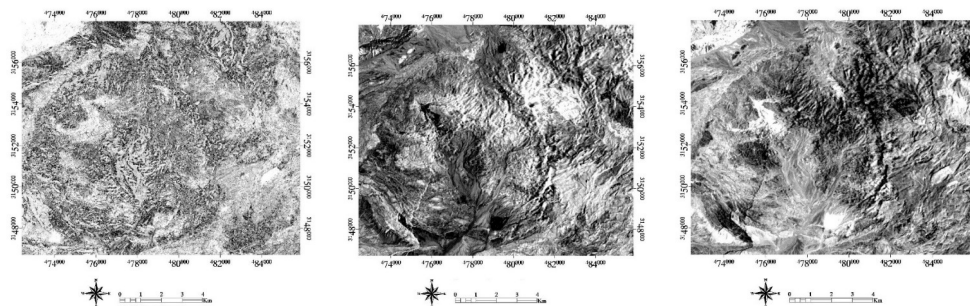
(الف)

شکل ۶. الف. تصویر منفی مؤلفه سوم کانی کائولینیت شاخص دگرسانی آرژیلیک ب. تصویر مؤلفه دوم ماتریس بردارهای ویژه برای طیف کلریت شاخص دگرسانی پروپلیتیک. ج. تصویر مؤلفه چهارم کانی موسکویت شاخص دگرسانی فیلیک

باید به عنوان هدف در نظر گرفته شوند باید هر دو خروجی الگوریتم مورد بررسی قرار بگیرند. برای اینکه یک پیکسل با امتیاز MF پایین به عنوان هدف شناسایی شود باید امتیاز Infeasibility آن مقادیر کمی داشته باشد. نتایج این روش در شکل ۸ آورده شده است.

بعد انجام پردازش‌های مربوط نتایج روش نقشه‌بردار زاویه طیفی در دگرسانی‌های آرژیلیک، پروپلیتیک و فیلیک نتایج آن در شکل ۷ آمده است.

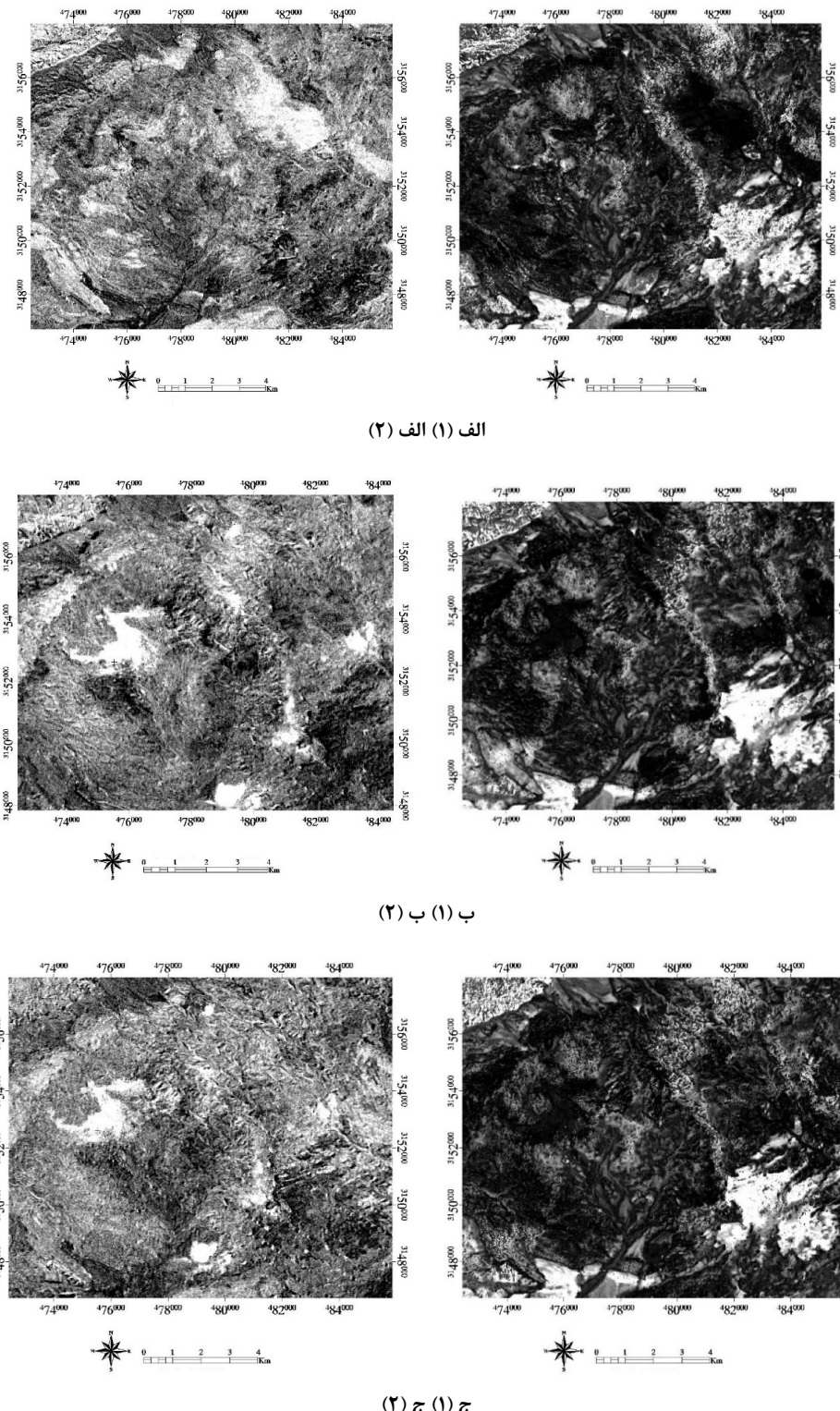
نتیجه اجرای الگوریتم MTMF بر روی داده دو تصویر MF و Infeasibility برای هر هدف معرفی شده به الگوریتم می‌باشد. برای تصمیم‌گیری در مورد اینکه کدام پیکسل‌ها



(ج)

(الف)

شکل ۷. الف. نتایج مربوط به کانی کائولینیت، کلریت، موسکویت



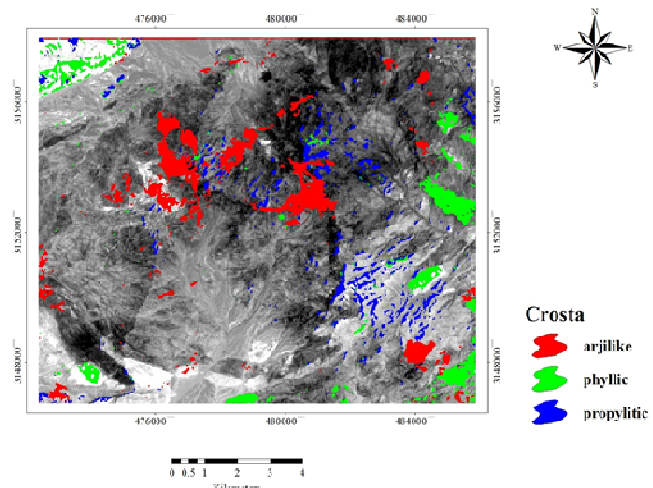
شکل ۸. شاخص‌های تولید شده برای روش MTMF سنجنده استر. شاخص‌های گروه (۱) به ترتیب حروف شامل تصاویر امتیاز تطابق MF Score) کانه‌های کلریت، کائولینیت و موسکویت که به ترتیب شاخص دگرسانی های پروبیلتیک، آرژیلیک و فیلیک می‌باشند. شاخص‌های گروه (۲) نیز تصویر امتیاز عدم امکانپذیری (Infeasibility) شاخص‌های متناظر خود پس از تعیین حدود آستانه، با اعمال فیلترهای Post-Classification، شامل فیلترهای sieve و clump و نقشه نهایی جهت ارزیابی دقت تعیین شد.

شکل‌های ۹ تا ۱۱ به ترتیب تصویر خروجی روش‌های کروستا، SAM و MTMF را نشان می‌دهد.

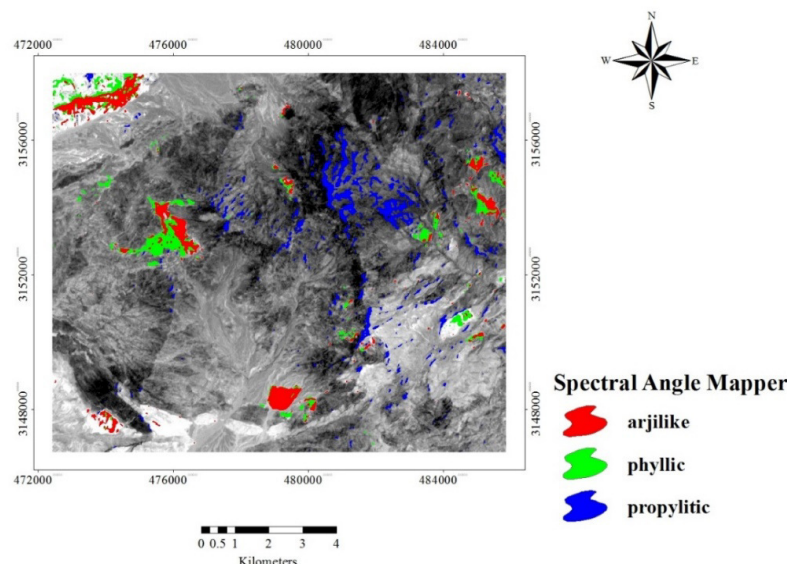
جدول ۴ نحوه آستانه‌گذاری برای خروجی‌های روش نقشه‌بردار زاویه طیفی در داده‌های سنجنده ASTER و

جدول ۴. نحوه آستانه‌گذاری برای خروجی‌های روش نقشه بردار زاویه طیفی در داده‌های سنجنده ASTER

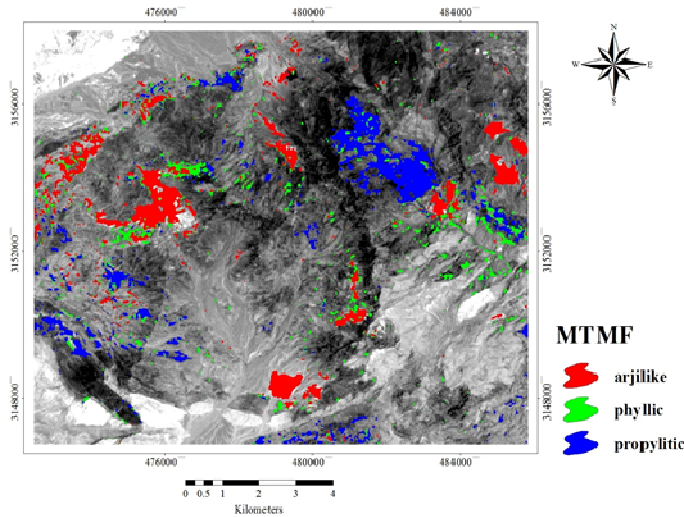
| نحوه آستانه‌گذاری | نام شاخص |
|---------------------------------|----------------|
| B1 ge {mean (B1)+(2* std (B1)} | کانی موسکویت |
| B1 ge {mean (B1)+(2* std (B1)} | کانی کائولینیت |
| B1 ge {mean (B1)+(2 * std (B1)} | کانی کلریت |



شکل ۹. تصویر خروجی روش آنالیز مؤلفه‌های اصلی انتخابی



شکل ۱۰. تصویر خروجی الگوریتم SAM



شکل ۱۱. تصویر خروجی الگوریتم MTMF

می‌دهد. نتایج نشان داد که روش فیلتر طبیعی تعديل شده (MTMF) با بیشترین ضریب کاپا یعنی ۶۵.۷۸ درصد و دقت کلی ۹۴.۵۶ درصد مناسب‌ترین روش به منظور شناسایی و استخراج زون‌های دگرسانی می‌باشد.

پس از به دست آوردن نتایج به منظور ارزیابی روش‌های ذکر شده بر اساس نقشه واقعیت زمینی که تنها دگرسانی آرژیلیکی را شامل می‌شد، از ضریب کاپا استفاده گردید. جدول ۵ نتایج حاصل از تطبیق با واقعیت زمینی را نشان

جدول ۵. نتایج حاصل از تطبیق با واقعیت زمینی

| روش تحلیل طبیعی | دقت کلی | ضریب کاپا |
|-----------------|---------|-----------|
| SAM | ۸۴/۶۷ | ۶۰/۲۳ |
| Crosta | ۸۷/۰۵ | ۶۳/۵۴ |
| MTMF | ۹۴/۵۶ | ۶۵/۷۸ |

الگوریتم‌های دیگر خطاهای تا اندازه‌ای کاهش می‌یابد و از دقت بیشتری برخوردار می‌باشد.

قدرتانی

با تشکر فراوان از استادی گروه زمین‌شناسی دانشگاه هرمزگان، به ویژه دکتر مهدی مسعودی که نگارندگان را در بازدیدهای میدانی و تحلیل نتایج مربوط به آن یاری نمودند.

۴- بحث و نتیجه‌گیری

نتایج تحقیق حاضر نشان داد الگوریتم MTMF نسبت به روش‌های دیگر بهترین دقت را ارایه می‌دهد و الگوریتم SAM دقت پایینی را نشان داد چرا که در این روش مبنای کار، مقایسه طیف تصویر با طیف مرجع می‌باشد. تعیین این که تصویر در چه طول موجی دارای بهترین انطباق با طیف مرجع می‌باشد، مشکل می‌باشد. با توجه به اینکه، در روش MTMF نیازی به داشتن تخمین و اطلاعات زیاد از همه اعضای انتهایی موجود در تصویر نیست. با استفاده از این روش پاسخ طیفی کلاس‌های طیفی مورد نظر حداکثر شده و پاسخ طیفی ترکیبات زمینه ناشناخته کم می‌شود تا علامت‌های طیفی شناخته شده تطبیق پیدا کنند. به همین دلیل نسبت‌های به

- منابع
- [۱] [ا] بهرامبیگی، ب، ح. ا. رنجبر و ج. شهابپور (۱۳۹۱) مقایسه روش‌های داده پایه و طیف مبنا جهت نقشه‌برداری از مناطق دارای کاتولینیت در آتششان مساحیم با استفاده از داده‌های هایپرپون، مجله زمین‌شناسی اقتصادی ۴ شماره ۲
- [۲] [ب] بیاتانی، ع. پ. ضیائیان فیروزآبادی، ع. ا. متکان و ع. شکیبا (۱۳۸۷) هیه نقشه دگرسانی گرمابی با استفاده از تکنیک‌های پردازش تصاویر ماهواره‌های (مطالعه موردی مشگین شهر-اهر). «فصلنامه زمین‌شناسی ایران ۷
- [۳] [ج] رفاهی، د (۱۳۹۱) بررسی زمین‌شناسی اقتصادی و شناسایی زون‌های دگرسانی در منطقه شمال سراب. (برگه ۱:۲۵۰۰۰ اوغلان سر) با تأکید ویژه بر استفاده از داده‌های ماهواره ASTER. تهران. پایان‌نامه کارشناسی ارشد؛ دانشگاه آزاد اسلامی واحد علوم تحقیقات
- [۴] [د] سیزه‌ایی، م (۱۳۷۲) نقشه ۱:۲۵۰۰۰ ورقه حاجی‌آباد، سازمان زمین‌شناسی
- [۵] [ه] عشق‌آبادی، م، و. ر. کارگر. (۱۳۷۷) گزارش مطالعات پی‌جوانی مواد معدنی در ورقه ۱:۱۰۰۰۰ دولت‌آباد. انتشارات سازمان زمین‌شناسی کشور
- [۶] [و] کریم‌پور، مج. ملکزاده. آ. حیدریان، م (۱۳۸۴) اکتشاف ذخایر معدنی مدل‌های زمین‌شناسی، ژئوشیمی، ماهواره‌ای و ژئوفیزیکی، انتشارات دانشگاه فردوسی مشهد، شماره ۱۴۵۳، چاپ اول
- [۷] [ز] کریمی بارونقی، ح (۱۳۹۱) ارزیابی تکنیک‌های تحلیل طیفی داده‌های سنجش از دور، در تعیین دگرسانی‌ها و اهداف آینده برای منابع کانی‌های فلزی. دانشکده علوم انسانی. گروه سنجش از دور و سیستم اطلاعات جغرافیایی دانشگاه تربیت مدرس. پایان‌نامه کارشناسی ارشد، ۱۹۲ صفحه.
- [۸] Azizi, H. Tarverdi, M.A. Akbarpour A (2010) Extraction of hydrothermal alterations from ASTER SWIR data from east Zanjan, northern Iran, Advances in Space Research 46: 99-109.
- [۹] Bedini, E (2009) Mapping lithology of the Sarfartoq carbonatite complex,southern West Greenland, using HyMap imaging spectrometer data Remote Sensing Environmet 113.
- [۱۰] Bedini, E (2011) Mineral mapping in the Kap Simpson complex, central East Greenland, using HyMap and ASTER remote sensing data. Advances in Space Research 47, 60-73.
- [۱۱] Chandra, A. M (2002) Plane Surveying. New Delhi, India, Ltd Publishers, 240P.
- [۱۲] Crosta, A. a. D. s. F., C (2003) Targeting key alteration minerals in epithermal deposit in patagonia, Argentina, using ASTER imagery